

1. 某材料吸水饱和后重 100g, 比干燥时重了 10g, 此材料的吸水率等于()。
A. 10% B. 8% C. 7% D. 11.1%
2. 早期强度要求较高, 抗冻性较好的混凝土, 应优先选用()。
A. 普通硅酸盐水泥 B. 矿渣硅酸盐水泥
C. 火山灰硅酸盐水泥 D. 粉煤灰硅酸盐水泥
3. 确定水泥的标准稠度用水量是为了()。
A. 确定水泥胶砂的水灰比以准确评定标号
B. 准确评定水泥的凝结时间和体积安定性
C. 准确评定水泥的细度
D. 准确评定水泥的矿物组成
4. 混凝土的徐变是指()。
A. 在冲击荷载作用下产生的塑性变形 B. 在震动荷载作用下产生的塑性变形
C. 在瞬时荷载作用下产生的塑性变形 D. 在长期静荷载作用下产生的塑性变形
5. 混凝土粗骨料的质量要求包括()。
① 最大粒径和级配; ② 颗粒形状和表面特征; ③ 有害杂质; ④ 强度; ⑤ 耐水性。
A. ①③④ B. ②③④⑤ C. ①②④⑤ D. ①②③④
6. 钢与生铁的区别在于其含碳量值应小于()。
A. 4.0% B. 3.5% C. 2.5% D. 2.0%
7. 当土骨架中的孔隙全部被水占领时, 这种土称为()。
A. 湿土 B. 饱和土 C. 过饱和土 D. 次饱和土
8. DJ_6 型光学经纬仪有四条主要轴线: 竖轴 VV , 视准轴 CC , 横轴 HH , 水准管轴 LL 。其轴线关系应满足: $LL \perp VV$, $CC \perp HH$, 以及()。
A. $CC \perp HH$ B. $CC \perp LL$ C. $HH \perp LL$ D. $HH \perp VV$
9. 水准测量是测得前后两点高差, 通过其中一点的高程, 推算出未知点的高程。测量是通过水准仪提供的()测得的。
A. 视准轴 B. 水准管轴线 C. 水平视线 D. 铅垂线
10. 视准轴是指()的连线。
A. 目镜中心与物镜中心 B. 目镜中心与十字丝中央交点
C. 十字丝中央交点与物镜中心 D. 十字丝中央交点与物镜光心
11. 视距测量时, 经纬仪置于高程为 162.382m 的 S 点, 仪器高为 1.40m, 上、中、下三丝读数分别为 1.019m、1.400m 和 1.781m, 求得竖直角 $\alpha = 3^\circ 12' 10''$, 则 SP 的水平距离和 P 点高程分别为()。
A. 75.962m, 158.125m B. 75.962m, 166.633m
C. 76.081m, 158.125m D. 76.081m, 166.633m

12. 一幅地形图上,等高距是指下列()项中数值相等。
- A. 相邻两条等高线间的水平距离 B. 两条计曲线间的水平距离
C. 相邻两条等高线间的高差 D. 两条计曲线间的高差
13. 城市新区开发和旧区改建必须坚持()。
- A. 统一规划、总体布局、统一领导、兼顾开发、优先安置的原则
B. 统一规划、总体布局、因地制宜、综合开发、组团建设的原则
C. 统一规划、合理布局、因地制宜、综合开发、配套建设的原则
D. 统一规划、合理布局、功能协调、优势开发、配套建设的原则
14. 《中华人民共和国房地产管理法》中规定,下列()项所列房地产不得转让。
- ① 以出让方式取得土地使用权的;
② 共有房地产,经其他共有人书面同意的;
③ 依法收回土地使用权的;
④ 权属有争议的;
⑤ 未依法登记领取权属证书的。
- A. ①②③ B. ②③④ C. ③④⑤ D. ①④⑤
15. 建设项目的环境影响报告书应当包括()。
- ① 建设项目概况及其周围环境现状;
② 建设项目对环境可能造成的影响的分析、预测和评估;
③ 建设项目对环境保护措施及其技术、经济论证;
④ 建设项目对环境影响的经济损益分析;
⑤ 对建设项目实施环境监测的建议;
⑥ 环境影响评价的结论。
- A. ①②③④⑤⑥ B. ①②③⑤⑥
C. ①②③④⑥ D. ①②④⑤⑥
16. 建设工程合同包括()。
- ① 工程勘察合同;② 工程设计合同;③ 工程监理合同;④ 工程施工合同;⑤ 工程检测合同。
- A. ①②③④⑤ B. ①②③④ C. ①②③ D. ①②④
17. 当基坑降水深度超过 8m 时,比较经济的降水方法为()。
- A. 轻型井点 B. 喷射井点 C. 管井井点 D. 明沟排水法
18. 混凝土运输、浇筑及间歇的全部时间不允许超过()。
- A. 混凝土的初凝时间 B. 混凝土的终凝时间
C. 终凝时间加初凝时间 D. 混凝土的搅拌时间
19. 浇筑配筋较密的钢筋混凝土剪力墙结构时,最好选用的振捣设备是()。
- A. 内部振动器 B. 表面振动器 C. 外部振动器 D. 人工振捣
20. 钢筋绑扎接头时,受压钢筋绑扎接头搭接长度是受拉钢筋绑扎接头搭接长度的()倍。
- A. 0.5 B. 0.7 C. 1 D. 1.2
21. 在网络计划中,若某工序的总时差为 5d,局部时差(自由时差)为 3d,则在不影响后续

工作最早开始时间的前提下,该工序所具有的最大机动时间为()d。

A.2 B.3 C.5 D.8

22. 某均布荷载作用下的钢筋混凝土矩形截面简支梁,截面尺寸为 $b \times h = 200\text{mm} \times 500\text{mm}$, $a_s = 35\text{mm}$, 计算跨度 $L = 4.0\text{m}$, 采用混凝土 C20 ($f_c = 9.6\text{N/mm}^2$), 梁内配置了单排 II 级纵向钢筋和充足的箍筋, 该梁能承受的最大剪力标准值为()kN。

A.186 B.223.2 C.102.3 D.71.6

23. 有两个配置螺旋箍筋的圆形截面柱,一个直径大,另一个直径小,但螺旋箍筋的品种、直径和螺距都相同,则螺旋箍筋对()的承载力提高得大些(相对于该柱本身)。

A.直径大的 B.直径小的 C.两者相同 D.不能确定

24. 在钢筋混凝土连续梁活荷载的不利布置中,若求某支座的最大弯矩,活荷载应()。

A.在该支座的左跨布置活荷载,然后隔跨布置
B.在该支座的右跨布置活荷载,然后隔跨布置
C.在该支座相邻两跨布置活荷载,然后隔跨布置
D.各跨均布置活荷载

25. 随着框架柱的轴压比的增大,柱的延性()。

A.不变 B.降低 C.提高 D.无法确定

26. 符号 $L_{100 \times 80 \times 10}$ 表示()。

A.钢板 B.槽钢 C.等肢角钢 D.不等肢角钢

27. 一截面面积为 A 、净截面面积 A_n 的构件,在拉力 N 作用下的强度计算公式为()。

A. $\sigma = N/A_n \leq f_y$ B. $\sigma = N/A \leq f$
C. $\sigma = N/A_n \leq f$ D. $\sigma = N/A \leq f_y$

28. 轴心压杆整体稳定计算时,下列截面中属 a 类截面的是()。

A.轧制工字钢,对弱轴 $y-y$ B.轧制圆管,对任意轴
C.焊接工字钢,对强轴 $x-x$ D.等边单角钢,对任意轴

29. 有重级工作制吊车的厂房,屋架间距和支撑节点间距均为 6m,屋架的下弦交叉支撑的断面应选择()。

A. $\angle 63 \times 5, i_x = 1.94\text{cm}$ B. $\angle 75 \times 5, i_x = 2.32\text{cm}$
C. $\angle 80 \times 5, i_x = 2.48\text{cm}$ D. $\angle 70 \times 5, i_x = 2.16\text{cm}$

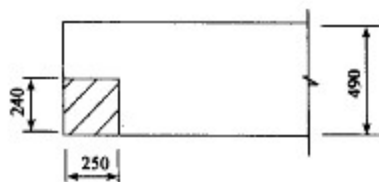
30. 当砌体结构作为一个刚体,需验算整体稳定性时,比如倾覆、滑移、漂浮等,对于起有利作用的永久荷载,其分项系数取()。

A.1.35 B.1.2 C.0.9 D.0.8

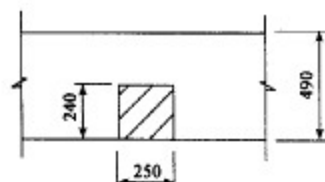
31. 对于墙柱高厚比的下列描述,不正确的是()。

A.砂浆强度越低,墙体的 $[\beta]$ 越小
B.考虑构造柱有利作用的高厚比验算不适用于施工阶段
C.验算施工阶段砂浆尚未硬化的新砌体时,墙的 $[\beta]$ 取 14
D.带壁柱或带构造柱墙高厚比验算时,只要整片墙体的高厚比满足要求,可以进行壁柱间或构造柱间墙高厚比验算

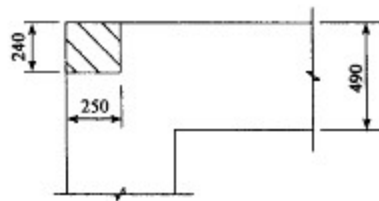
32. 如题图所示,一尺寸为 $240\text{mm} \times 250\text{mm}$ 的局部受压面,支承在 490mm 厚的砖墙采用 MU10 烧法多孔砖、M5 混合砂浆砌筑,可能最先发生局部受压破坏的是()图所示的砖墙。



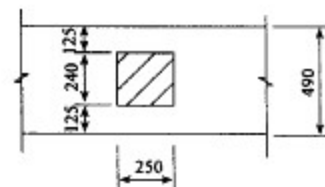
A.



B.



C.

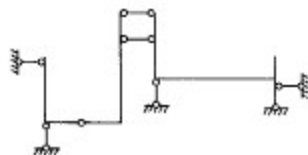


D.

33. 在组合砖砌体构件中,下列描述()项是正确的。
- 砂浆的轴心抗压强度值可取同等级混凝土的轴心抗压强度设计值
 - 砂浆的轴心抗压强度值可取砂浆的强度等级
 - 为提高构件的抗压承载力,可采用较高强度的钢筋
 - 当轴向力偏心距 $e > 0.6y$ (y 为截面重心到轴向力所在偏心方向截面边缘的距离) 时,宜采用组合砌体

34. 图示体系是几何()的体系。

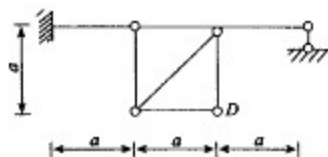
- 不变
- 不变且无多余约束
- 瞬变
- 不变,有一个多余约束



题 34 图

35. 图示结构各杆温度均升高 $t^{\circ}\text{C}$, 且已知 EI 和 EA 均为常数, 线膨胀系数为 α , 则点 D 的竖向位移 Δ_{DV} 为 ()。

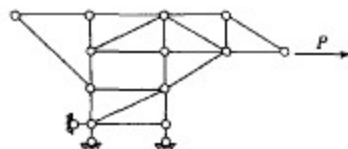
- $- \alpha t a$
- $\alpha t a$
- 0
- $2 \alpha t a$



题 35 图

36. 图示桁架有()根零杆。

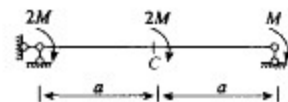
- A. 3
B. 9
C. 5
D. 6



题 36 图

37. 图示梁截面 C 的弯矩为()。

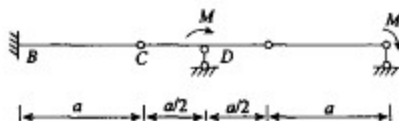
- A. $M/4$ B. $M/2$
C. $3M/4$ D. $3M/2$



题 37 图

38. 图示多跨梁剪力 Q_{DC} 为()。

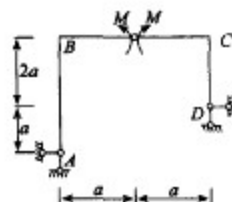
- A. M/a B. $-M/a$
C. $2M/a$ D. $-2M/a$



题 38 图

39. 图示结构 M_{BA} 为()。

- A. $0.8M$ (左边受拉)
B. $0.8M$ (右边受拉)
C. $1.2M$ (左边受拉)
D. $1.2M$ (右边受拉)



题 39 图

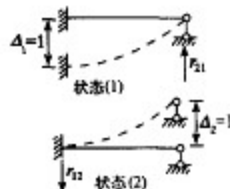
40. 图示()为悬臂梁支座截面弯矩的影响线形状。



题 40 图

41. 图示结构两个状态的反力互等定理 $r_{12} = r_{21}$, r_{12} 和 r_{21} 的量纲为()。

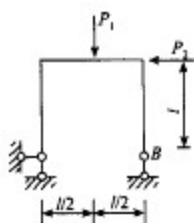
- A. 力
B. 无量纲
C. 力 / 长度
D. 长度 / 力



题 41 图

42. 图示结构 EI 为常数, 若 B 点水平位移为零, 则 P_1/P_2 应为 ()。

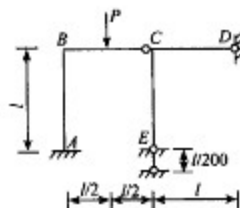
A. $10/3$
B. $9/2$
C. $20/3$
D. $17/2$



题 42 图

43. 图示结构, 各杆 EI 为常数, M_{CD} 为 ()。

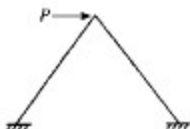
A. $3EI/(200l)$ B. $3EI/(200l) + Pl/2$
C. $3EI/(400l)$ D. $3EI/(100l) - Pl/2$



题 43 图

44. 图示对称刚架, 不计轴向变形, 弯矩图为 ()。

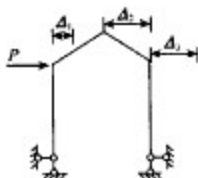
A. 两杆均内侧受拉
B. 两杆均外侧受拉
C. 两杆均部分内侧受拉
D. 两杆弯矩都为零



题 44 图

45. 图示对称结构, 在不计杆件轴向变形的情况下, 各结点线位移为 ()。

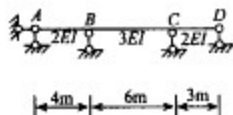
A. $\Delta_1 = \Delta_2 = \Delta_3$
B. $\Delta_1 = \Delta_2 \neq \Delta_3$
C. $\Delta_1 \neq \Delta_2 \neq \Delta_3$
D. $\Delta_1 = \Delta_3 \neq \Delta_2$



题 45 图

46. 图示连续梁中力矩分配系数 μ_{BC} 和 μ_{CB} 分别为 ()。

A. $0.429, 0.571$
B. $0.5, 0.5$
C. $0.571, 0.5$
D. $0.6, 0.4$

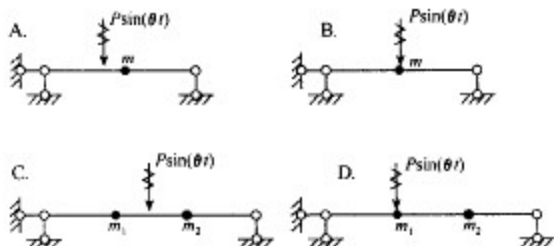


题 46 图

47. 在力矩分配法中, 转动刚度表示杆端对 () 的抵抗能力。

A. 变形 B. 移动
C. 转动 D. 荷载

48. 图示体系 (不计梁的分布质量) 作动力计算时, 内力和位移动力系数相同的体系为 ()。



题 48 图

49. 下列关于钢筋混凝土受弯构件试验的叙述错误的是()。
- 对于变截面的梁,应在抗弯控制截面布置应变测点
 - 测定挠度时只需在跨中最大挠度处布置测点
 - 选取量测裂缝宽度的裂缝包括第一条出现的裂缝
 - 测定裂缝宽度的裂缝数目一般不少于 3 条,取其最大值
50. 静载试验中,每级荷载加载后的持续时间不少于()min。
- 10
 - 15
 - 20
 - 30
51. 下列()项不是混凝土构件的破坏标志。
- 受拉主筋屈服,拉应变达到 0.01
 - 受拉主筋处垂直裂缝宽度达到 1.0mm
 - 钢筋混凝土简支梁挠度达到跨度的 1/50
 - 受剪构件钢筋末端相对于混凝土的滑移量为 0.2mm
52. ()不能作为判断结构恢复力特性的参数。
- 能量耗散
 - 延性
 - 刚度退化率
 - 裂缝宽度
53. 下列检测方法中()不属于半破损检测方法。
- 钻芯法
 - 原位轴压法
 - 超声脉冲法
 - 拔出法
54. 下列各项中,不能传递静水压力的土中水是()。
- 结合水
 - 自由水
 - 重力水
 - 毛细水
55. 与软黏土地基某时刻的主固结沉降计算无关的土工参数是()。
- 土层厚度
 - 土的渗透系数
 - 土的压缩模量
 - 土的变形模量
56. 基底压力直线分布的假设适用于()。
- 深基础的结构计算
 - 浅基础的结构计算
 - 基底尺寸较小的基础结构计算
 - 沉降计算
57. 与受中心荷载作用的基础相比,偏心荷载作用下地基极限承载力将()。
- 提高
 - 不变
 - 降低
 - 不确定
58. 如在开挖临时边坡以后砌筑重力式挡土墙,合理的墙背型式是()。

A. 仰斜

B. 俯斜

C. 直立

D. 背斜

59. 下列有关桩承台构造方面的叙述不正确的是()。

A. 方形桩承台底部钢筋应双向布置

B. 桩的纵向钢筋应锚入承台内

C. 桩嵌入承台的深度不应小于 300mm

D. 混凝土强度等级不应低于 C15

60. 某湿陷性黄土地基厚 10m, 拟采用强夯处理, 假设影响系数为 0.5, 现有锤重 100kN, 则落距 h 应选()m 才能满足设计要求。

A. 40

B. 10

C. 15

D. 20

